

УРОВНИ,  
СОЗДАВАЕМЫЕ КОРОТКОДЕЙСТВУЮЩИМ ПОТЕНЦИАЛОМ  
ДЕФЕКТОВ И ПРИМЕСЕЙ, В КВАНТОВЫХ ЯМАХ  
НА ОСНОВЕ ПОЛУПРОВОДНИКОВ ТИПА A<sup>IV</sup>B<sup>VI</sup>

Дугаев В. К., Петров П. П.

В последнее время значительное внимание уделяется изучению квантовых ям на основе узкощелевых полупроводников типа A<sup>IV</sup>B<sup>VI</sup> и их твердых растворов [1]. Так, в работах [2-4] рассмотрен электронный спектр в квантовых ямах на основе структур типа PbTe—Pb<sub>1-x</sub>Sn<sub>x</sub>Te—PbTe, когда носители захватываются в слой твердого раствора Pb<sub>1-x</sub>Sn<sub>x</sub>Te с меньшей шириной запрещенной зоны (особый случай возникновения безмассовых состояний в инверсном контакте [5] мы не рассматриваем).

Обычно легирование примесями структур указанного типа производится таким образом, чтобы сама примесь находилась вне квантовой ямы [6]. Однако в реальных системах примеси или дефекты могут все же оказаться внутри ямы, в силу чего представляет определенный интерес изучение поведения примесных уровней в квантовых ямах. Подобная задача для случая широкозонных полупроводников рассматривалась в ряде работ (см., например, [7] и цитированную там литературу).

В настоящей работе рассмотрены примесные уровни в квантовой яме на основе узкощелевых полупроводников A<sup>IV</sup>B<sup>VI</sup>, создаваемые короткодействующим потенциалом. Радиус действия потенциала примеси  $a$  предполагается таким, что выполняются условия

$$L \ll a \ll k_{\max}^{-1}, \quad (1)$$

где  $L$  — ширина ямы,  $k_{\max} \approx mv$  — характерный импульс, ограничивающий область линейного спектра в рассматриваемых соединениях,  $m$  и  $v$  — параметры этого спектра (численные оценки приведены далее).

Получим вначале эффективный гамильтониан для электронов в квантовой яме без примесей и дефектов. В качестве исходной примем изотропную модель Дирака, которая достаточно хорошо описывает энергетический спектр электронов в соединениях A<sup>IV</sup>B<sup>VI</sup>

$$H_0 = \tau_z \Delta(z) - i v \tau_x \sigma \nabla, \quad (2)$$

где  $\tau$  и  $\sigma$  — матрицы в пространстве зон и спина соответственно,  $v$  — параметр межзонного взаимодействия; параметр энергетической щели  $\Delta(z)$  предполагается имеющим следующую координатную зависимость:

$$\Delta(z) = \begin{cases} \Delta_0, & -L/2 \leq z \leq L/2, \\ \Delta, & |z| > L/2. \end{cases} \quad (3)$$

В интервале энергий  $\Delta_0 < \epsilon < \Delta$  электроны связаны внутри ямы и их волновая функция при  $|z| \leq L/2$   $\psi \sim \exp(i\mathbf{k}z)$ , где  $\mathbf{k} = (\epsilon_n^2 - \Delta_0^2)^{1/2}$ . Энергия  $\epsilon_n$  (положение дна  $n$ -й подзоны размерного квантования) определяется из условий сшивки решений уравнения Шредингера в яме и вне ее.<sup>1</sup>

Подставляя в волновое уравнение с гамильтонионом (2) волновую функцию внутри ямы в виде

$$\psi(\mathbf{r}) = \psi_1(x, y) \exp(i\mathbf{k}z) \quad (4)$$

и переходя к Фурье-преобразованию по  $x$  и  $y$ , получим

$$H_0(\mathbf{k}) = \tau_z \Delta_0 + v \tau_x (\sigma_x k_x + \sigma_y k_y) + v \tau_x \sigma_z \mathbf{k}. \quad (5)$$

<sup>1</sup> Соответствующие выражения и графики приведены в работе авторов (ФТП, 1989, Т. 23, Б. 3. С. 488—492), а также в [4].

При  $k = 0$  гамильтониан (5) преобразуется к диагональному виду с помощью унитарного преобразования, задаваемого матрицей,

$$T = [2\epsilon_n(\epsilon_n - \Delta_0)]^{-1/2} [v\sigma_x + i\tau_y(\Delta_0 - \epsilon_n)], \quad T^{-1} = T^*. \quad (6)$$

При этом

$$\tilde{H}_0(k) = T^* H_0 T = \tau_z \epsilon_n - v \tau_x (\sigma_x k_x + \sigma_y k_y). \quad (7)$$

Гамильтониан (7) имеет размерность  $4 \times 4$ , однако путем еще одного преобразования с матрицей

$$T_1 = 1 \otimes \begin{pmatrix} 1 & 0 \\ 0 & 0 \end{pmatrix} + \tau_x \otimes \begin{pmatrix} 0 & 0 \\ 0 & 1 \end{pmatrix} \quad (8)$$

он приводится к блочному виду

$$H_{\text{эфф}} = T_1^* \tilde{H}_0 T_1 = \tilde{H}_1 \oplus \tilde{H}_2, \quad (9)$$

где

$$\tilde{H}_{1,2} = \pm \epsilon_n \rho_z - v (\rho_x k_x + \rho_y k_y). \quad (10)$$

Здесь  $\rho$  — матрицы Паули в пространстве волновых функций, являющихся линейными комбинациями волновых функций с определенными спинами и принадлежащих различным зонам (т. е. матрицы  $\rho$  не являются чисто спиновыми).

Важно отметить, что каждый из гамильтонианов  $\tilde{H}_{1,2}$  является гамильтонианом массивной  $2+1$ -мерной квантовой электродинамики (КЭД), для которой в качестве матриц Дирака могут быть выбраны матрицы Паули. Однако полный гамильтониан, согласно (9) и (10), представляет собой совокупность двух гамильтонианов  $2+1$ -мерной КЭД (соответствующий параметр  $m c^2$  в КЭД), что связано с сохранением двухкратного вырождения в зонах.

Введем теперь короткодействующий потенциал примеси  $V(r)$ , диагональный в базисе исходных волновых функций, в котором записан  $H_0$ . Преобразования базиса не меняют его вида. В силу первого из неравенств (1) матричными элементами  $V(r)$  на волновых функциях различных подзон можно пренебречь, а второе из них позволяет аппроксимировать  $V(r)$  двумерным  $\delta$ -потенциалом  $V(r) = V_0 \delta(x) \delta(y)$ .

Уравнение для определения положения уровней имеет вид [7]

$$\det [1 - V_0 F(\omega)] = 0, \quad (11)$$

где

$$F(\omega) = \int \frac{d^2 k}{(2\pi)^2} G(k, \omega), \quad (12)$$

$G(k, \omega)$  — функция Грина свободных электронов. В соответствии с отмеченным выше двукратным вырождением, которое сохраняется и для уровней, достаточно ограничиться гамильтонианом  $\tilde{H}_1$  из (10). Тогда

$$G(k, \omega) = \frac{\omega + \rho_x \epsilon_n + v (\rho_x k_x + \rho_y k_y)}{\omega^2 - \epsilon_n^2 - v^2 k^2}. \quad (13)$$

Вычисляя с этой функцией интеграл в (12), получим

$$F(\omega) = -\frac{\omega + \rho_x \epsilon_n}{2\pi v^2} \ln \frac{E_c}{(\epsilon_n^2 - \omega^2)^{1/2}}, \quad (14)$$

где  $E_c$  — энергия, на которой производится обрезание интеграла ( $E_c \approx mv^2$ ). Вид этой функции (диагональные компоненты матрицы) представлен на рисунке.

Пусть в дальнейшем для определенности  $V_0 < 0$  — притягивающий потенциал для электронов (донорные уровни). С помощью (14) решения уравнения (11) могут быть найдены в следующих предельных случаях (далее  $\omega_n$  — энергия уровня, отщепленного от  $n$ -й подзоны): а) при  $|V_0| \ll v^2/\epsilon_n \ln(E_c/\epsilon_n) \sim v^2/\epsilon_n$

$$\omega_n = \epsilon_n - \frac{E_c^2}{2\epsilon_n} \exp \left( -\frac{2\pi v^2}{\epsilon_n |V_0|} \right), \quad (15)$$

б) при  $|V_0| \leq |E_c/\varepsilon_n| \ln(E_c/\varepsilon_n)/v^2 \ll (E_c/\varepsilon_n)^2$

$$\omega_n = -\varepsilon_n + \frac{2\pi v^2}{|V_0| \ln(E_c/\varepsilon_n)},$$

(16)

в) при  $|V_0| > (vE_c)^2/\varepsilon_n^3$

$$\omega_n = -\varepsilon_n + \frac{4\pi v^2}{|V_0|}.$$

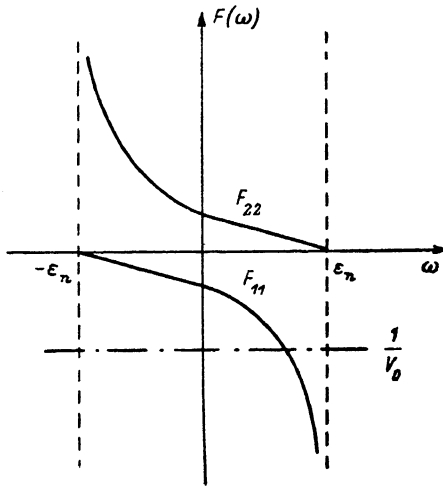
(17)

Зависимость положения уровня от ширины ямы содержится в параметре  $\varepsilon_n$ : для всех  $n$  с ростом  $L$  эта величина монотонно уменьшается и стремится к  $\Delta_0$ .

Мы не приводим графиков этих зависимостей, поскольку наше рассмотрение ограничено со стороны больших  $L$  условием (1).

Отметим, что отсутствие затухания примесных состояний в области  $|\omega| < \varepsilon_n$  в соответствии с (11) и (14) связано с предполагаемой малостью «перемещивания» состояний различных подзон на потенциале  $V(r)$ .

Строго говоря, потенциал  $V_0 < 0$  отщепляет также виртуальный уровень от  $n$ -й валентной подзоны с энергией  $\tilde{\omega}_n >$



Вид функции  $F(\omega)$  и графическое решение уравнения (11) для уровня, отщепленного от  $n$ -й подзоны при  $V_0 < 0$ .

$> \varepsilon_n$ . Однако его размытие не меньше  $\omega_n$ , т. е. реально имеет место слабое гладкое возмущение плотности состояний в верхней подзоне размерного квантования, которым можно пренебречь.

Сделаем оценки применимости полученных выражений. Примем значения для параметров зонной структуры  $v=5 \cdot 10^{-8}$  эВ·см и  $m=0.2 m_0$ . Тогда  $k_{\max} \sim 10^{-7}$  см $^{-1}$ , и, следовательно, полученные формулы применимы для узкой квантовой ямы в несколько атомных слоев.

#### Список литературы

- [1] Bauer G. // Surf. Sci. 1986. V. 168. N 1-2. P. 462—472.
- [2] Силин А. П. // Кр. сообщ. по физике ФИ АН СССР. М., 1985. № 12. С. 13—16.
- [3] Lopez Gonder J., de Dios Leyva M. // Phys. St. Sol. (b). 1987. V. 142. N 2. P. 445—453.
- [4] Кисин М. В., Петросян В. И. // ФТП. 1988. Т. 22. В. 5. С. 829—833.
- [5] Волков Б. А., Панкратов О. А. // Письма ЖЭТФ. 1985. Т. 42. В. 4. С. 145—148.
- [6] Esaki L. // IEEE Quant. Electron. 1986. V. QE-22. N 9. P. 1611—1624.
- [7] Bastard G. // Lect. Not. Phys. 1980. V. 133. P. 337—354.

Львовский  
политехнический институт  
им. Ленинского комсомола

Получено 23.03.1989  
Принято к печати 17.07.1989

ФТП, том 23, вып. 12, 1989

#### ПОЛИТИПНЫЙ ФАЗОВЫЙ ПЕРЕХОД, ИНДУЦИРОВАННЫЙ ИОННОЙ ИМПЛАНТАЦИЕЙ

Москвина Д. Р., Шецольдт Й.,  
Потапов Е. Н., Таиров Ю. М.

Ионная имплантация является наиболее эффективным методом для получения локально легированных областей с заданными параметрами в полупроводниковых материалах. В полупроводниках, обладающих множеством структурно-